

B-2 高圧下の換気能

東医歯大医衛生 大岩弘典、柴本一郎、北博正

ガス密度の増加し高圧下で切入潜水衣や、潜泳失水温湯気を吸入感する事は良く知る事実である。この現象については高圧下での換気予備能力の減少と呼ぶ討論がなされている。

我々は図1-Aの如き人工肺と用い1~4絶対圧(ATA)の下で測定したflow(\dot{V}) - resistive pressure (ΔP)関係は図1-Bのようになり高圧下での $\Delta P/\dot{V}$ は大となる傾向にある。

肺呼吸系に於けるは駆動圧(Palv.)は層流(laminar)・乱流(turbulent)効果を反映する圧力の和として示され、Rohrerの式 $P_{\text{Palv.}} = P_{\text{Plamino}} + P_{\text{Turbulent}}$ で表される。上記の式で $P_{\text{Plamino}} \propto \dot{V}^2 K_1$ とされて示され、(註) $K_1 = \frac{80\pi}{\pi r^4}$ (粗さ)、流速とノルムの粗さとの比例である。Turbulent $\propto \dot{V}^2 K_2$ とされて表される $K_2 = 0.2 R$ (註) R は機械的倒産の粗さ(直径)、流速の2乗とガスの密度との比例である。更に流れの乱流化の度合の式 Reynolds number $= \frac{\dot{V} D}{2}$ が分子極度の乱流傾向の増大は高圧環境では密度の増加の依存し、尚且つ同一換気に対する駆動圧の増加による江量の増大を示す事が分かる。

動的換気能の測定

方法：1~6 ATA の下で 9L-Benedict-Roth 型 spirometer を用い健康成年男子群(肺換気予備能力の偏差少々14名)を用いて最大努力呼吸量(M.V.V.)、努力呼吸量(FEV_{1.0})及び forced midexpiratory flow (FMF 25~75%)を測定した。用いた spirometer の IAT A における是流に対する抵抗は $0.43 \text{ cmH}_2\text{O/l/sec.}^{2.5}$ である。

結果：図2は M.V.V.₆₀ の加圧に対する減少を示し、6 ATA で 45% の減少、6 ATA で 55% の減少を示す。この被験者群の IATA における % M.V.V. は 105% である。この値の減少率を示してみると図3で 4 ATA で 61% の減少を示している。

図4は FEV_{1.0} の減少を示し、6 ATA で M.V.V. における減少は著明でなく、4 ATA における値は 17% 減少と示す。図5は 25~75% FEV の値を示すものであり、4 ATA における値は生理的呼吸の近い。

図6は FMF 25~75% の値を示し、6 ATA で著明な加圧効果による減少が示される。

考察：高圧環境下の空気呼吸の場合の動的換気能の指標の低下は M.V.V. が主な影響因子である。このようす M.V.V. の高圧下での変動につれて S. miles の式 $P = \frac{1}{2} m V^2$ を用い、(註) $p = \frac{1}{2} \rho V^2$ (ρ : 密度、 V : 流体量、 m : 流量)、M.V.V. の時は空気の流れでは乱流効果と、それによる密度の重要な因子となると考え、上記の式は $M.V.V. = \frac{1}{2} P$ は最大努力で示す一定の値で $V = \sqrt{m}$ 上に置く換算率が出来る。更に密度の換算の量は流速 V の基で、単位容積当たりの空気の量は密度に比例するので、 $M.V.V. \propto \frac{1}{\sqrt{D}}$ (D: 密度) と示す事が出来る。理説式と測定の成績 plot は図2の如く破線で示す。この様に M.V.V. の測定値が空気呼吸における 4 ATA の約半分に落ちて云う事は呼吸の要する江量が倍以上と云う事を推測させる。

$FEV_{1.0}$ と MVV は、 $1\sim4ATA$ の中等度加圧下では明確とはせず、 FMF の方がより加圧効果を表わしかつて $1\sim4ATA$ の中等度加圧下では実際呼吸抵抗の増加が弱められかねず、駆動圧としての肺胞内圧の上昇が流量の低下に補つて $FEV_{1.0}$ は、 $FEV_{1.0}$ と MVV が明確とはせず、しかし肺肉量の減少の中間圧での FMF の方がより顕著な値を示すものと考えられる。更に高圧下では MVV のようでは駆動換気のより速い呼吸系の全抵抗に対する影響は呼吸抵抗現象を強化する事で予想されるが、今後更に高圧下での直達法に基づく直達抵抗の測定による高圧下での換気能面の研究を報告したい。

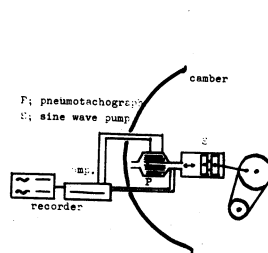


Fig. 1-A Set up of the instruments

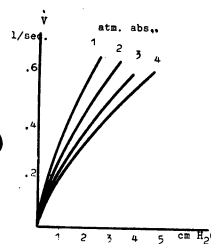


Fig. 1-B Flow-pressure curve for artificial lung (air)

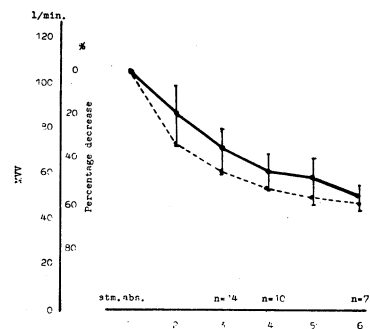


Fig. 2 Mean percentage decrease of measured MVV with increasing hyperbaric pressure.

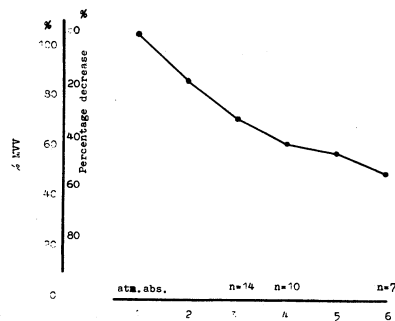


Fig. 3 Mean percentage decrease of measured MVV with increasing hyperbaric pressure.

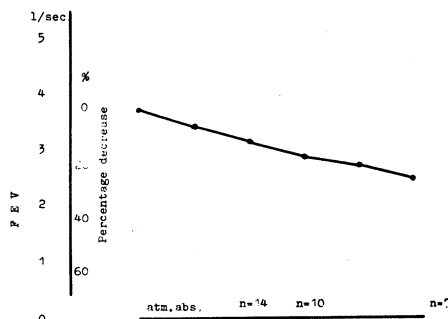


Fig. 4 Mean FEV with increasing hyperbaric pressure.

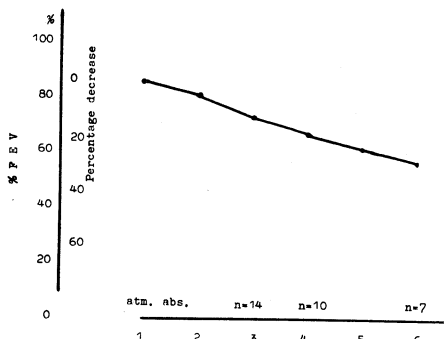


Fig. 5 Mean % FEV with increasing hyperbaric pressure.

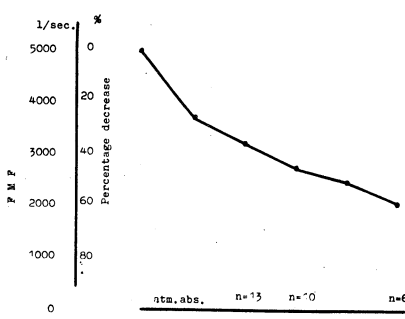


Fig. 6 Mean PEP_{25-75%} with increasing hyperbaric pressure.